

# 領域分割レジスタ生存グラフを用いたレジスタ割付けへの動的計画法の適用

浅原 英雄<sup>†</sup> 近藤 伸宏<sup>††</sup> 古関 聡<sup>†††</sup>  
小松 秀昭<sup>†††</sup> 深澤 良彰<sup>†</sup>

本稿では、命令レベル並列プロセッサ向けの新しいレジスタ割付け手法を提案する。命令レベル並列性 (ILP) を抽出する手法として、我々はシリーズパラレル型レジスタ生存グラフを用いた手法を提案してきた。しかし、今までの手法はワンパスのヒューリスティクスを用いた手法であったため、プログラム構造によっては十分に最適な解を得ることができないという欠点があった。そこで、解空間を広く探索し、かつ、動的計画法を用いて計算量が増加するのを抑制できるアルゴリズムを開発した。本稿では、まずレジスタ割付けに関する問題を整理し、本手法のアルゴリズムと適用例を示し、その評価を行う。

## Applying Dynamic Programming Technique to Register Allocation Based on Region Partitioned Register Existence Graph

HIDEO ASAHARA,<sup>†</sup> NOBUHIRO KONDOH,<sup>††</sup> AKIRA KOSEKI,<sup>†††</sup>  
HIDEAKI KOMATSU<sup>†††</sup> and YOSHIAKI FUKAZAWA<sup>†</sup>

We introduce a new register allocation algorithm for instruction-level parallel processors. We have suggested a method using Series-Parallelized Register Existence Graph in order to extract ILP in a program. However, this method does not always give the optimum result because it only uses one-pass heuristics. Then, we developed a new algorithm which can search the broader possibility of solutions and uses dynamic programming in order to reduce the cost of computation. In this paper, we clarify some problems on register allocation techniques, and give our algorithm with some examples, and its evaluation.

### 1. はじめに

並列プロセッサに対するレジスタ割付けにおいては、実レジスタを再利用することで発生する逆依存が問題視されてきた。そのため、スパルコードの最少化に加え、並列実行を阻害しない実レジスタの再利用の実現が目指されてきている<sup>1)~4)</sup>。

我々はこれまでに、命令レベル並列プロセッサ向けのレジスタ割付け手法として、レジスタの生産と使用の関係のエッジで表すレジスタ生存グラフを用いて命令レベル並列性 (ILP: Instruction-Level Parallelism) を抽出する手法を提案してきた<sup>3),4)</sup>。この手法は、あ

るタイミングに生存する仮想レジスタ数が利用可能実レジスタ数を超えないために、あらかじめ命令の実行順序に制約を加えておくことで、コードスケジューラとの統合を実現している。しかし、この制約を加えるアルゴリズムはアドホックであり、プログラム構造によっては十分に質の良い解を得ることができないという欠点があった。そこで、本稿では動的計画法 (DP: Dynamic Programming) を用いて計算量の増加を抑制しながら解空間をより広く探索するアルゴリズムを用い、より高い ILP を引き出す新しいレジスタ割付け手法を提案する。

本稿では、まず、レジスタ割付けにおける問題点を示し、関連手法を紹介する。そして、本手法の特徴、アルゴリズムを説明し、評価を行う。

### 2. 研究の目的

レジスタアロケータは、同時に使用するレジスタ数を利用可能な実レジスタ数以下に低減する機能と、仮

<sup>†</sup> 早稲田大学理工学部

School of Science and Engineering, Waseda University

<sup>††</sup> 株式会社東芝セミコンダクター社システム LSI 事業部

Semiconductor Company System LSI Division, Toshiba Corp.

<sup>†††</sup> 日本 IBM 株式会社東京基礎研究所

Tokyo Research Laboratory, IBM Japan, Ltd.

想レジスタを実レジスタに割り当てる機能の2つの機能を持つことが多い。本稿中では、前者が行う作業を最大干渉度低減操作と呼ぶ。ここで、ある仮想レジスタどうしが干渉しているとは、互いの生存区間が重なることを指し、両者を同一レジスタに保存できない。また、干渉度とは、あるタイミングにおいて干渉しあう仮想レジスタの数を示し、最大干渉度とは、レジスタ割付け対象中の最大の干渉度を指す。

ILPを低下させないレジスタ割付けを実行するには、3つの問題点がある。問題点1は、レジスタの再利用による逆依存の発生がILP抽出の妨げになる点である。問題点2は、レジスタアロケータが使用レジスタ数を減らす向きに働くのに対し、コードスケジューラは並列度を高め、レジスタプレッシャを高める向きに働いてしまう点である。ILPを十分に引き出すには、両者の協調動作が必要である。レジスタ割付けを先に行うポストパス型は、レジスタアロケータがレジスタの再利用率を高め、問題点1を強めてしまう結果になり、ILPの抽出を阻害してしまう。その逆順序のプリパス型は、コードスケジューラが抽出したILPを、レジスタアロケータが壊してしまう。gcc<sup>5)</sup>など、両者を交互実行により協調させる手法では、計算コストが著しく高まる。このように、レジスタアロケータとコードスケジューラの協調動作を考慮することは、ILPを抽出するためにきわめて重要な問題である。問題点3は、レジスタ割付けがNP完全問題であり、多項式時間で厳密な最適解を得ることができない点である。そのため、バックトラックのない、一意に解が求まるアルゴリズムを採用し、少ない計算量で比較的良好な解を得るアプローチが有効である。しかし、解を得る際に解候補の比較や評価などを行わないことから、採用したアルゴリズムが得意としないプログラム構造に対しては十分なILPを保持できないという問題をはらんでいる。

以上の問題を解決するレジスタ割付け手法が望まれている。

### 3. 関連研究

最もよく知られたレジスタ割付け技法として、レジスタ彩色法があげられる<sup>6)</sup>。仮想レジスタをノード、干渉をエッジで表したレジスタ干渉グラフに対し、彩色問題を解くことで発見的にレジスタ割付けを行う。その単純さと強力さから、現在の大部分のコンパイラの基本アルゴリズムに採用されているが、問題点1が考慮されていない。これを考慮した後続研究として、並列化レジスタ干渉グラフを用いたレジスタ彩色法があ

```

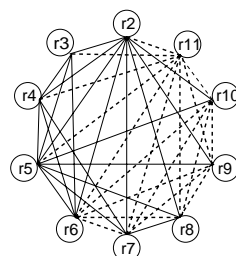
1 if(r2!=0){          1    cc1=r2&&0
2  r6=r3<<2          2  (!cc1) r6=r3<<2
3  store(r6,r3)      3  (!cc1) store(r6,r3)
4 }else{             4  (cc1) r7=r4>>2
5  r7=r4>>2          5  (cc1) r8=r4+4
6  r8=r4+4           6  (cc1) store(r7,r8)
7  store(r7,r6)      7  (cc1) r9=Load(r5)
8  r9=Load(r5)       8  (cc1) r10=r9+1
9  r10=r9+1          9  (cc1) store(r10,r5)
10 store(r10,r5)     10(cc1) r11=r2+1
11 r11=r2+1
12}

```

(i) 変換前 (ii) SSA変換,ガード付加後

図1 サンプルコード

Fig. 1 A sample code.



実線: 干渉エッジ  
破線: 並列性を保つための仮想エッジ

図2 レジスタ干渉グラフ

Fig. 2 Register interference graph.

る<sup>1),2)</sup>。これらの手法では、レジスタ干渉グラフに並列性を保持するためのエッジを加えた並列化レジスタ干渉グラフを用いて彩色問題を解くことで、問題点1を解決している。しかし、並列実行の可能性に関して安全な見積りを行うため、実際には干渉しないノードどうしにもエッジを張ってしまい、無駄なスピルコードが挿入されてしまう。

実際に、図1(i)のサンプルコードにSSA変換<sup>7)</sup>を施し、各命令に実行条件を示すガードを付加した図1(ii)に対する両手法のグラフを図2に示す。プログラムの並列性が高い場合、このように完全グラフに近くなるため、余分なスピルコードの挿入が頻発してしまう。

これに対して、我々はGPDG(Guarded Program Dependence Graph<sup>8)</sup>)から生成される、レジスタ生存グラフを利用するアルゴリズムを提案し、干渉グラフを利用した際の問題を解決してきた<sup>3),4)</sup>。

GPDGとは、PDG<sup>9)</sup>を拡張したグラフであり、プログラム中の最内ループ中のデータ依存、制御依存の関係を表現するのに用いられる。最内ループの入口と出口を示すSTARTノードとENDノードを持ち、その他のノードは各命令を表している。各ノードには、ガードが付加され、ガードとデータに関する生産と使

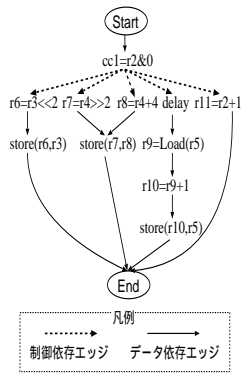


図3 図1に対するGPDG  
Fig. 3 GPDG for Fig. 1.

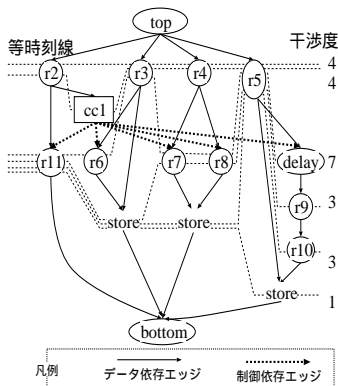


図4 図3に対するレジスタ生存グラフ  
Fig. 4 Register existence graph for Fig. 3.

用の依存関係を、有向エッジを用いて表現する。これにより、GPDG上では、制御依存をデータ依存と同等にとらえることができる。図1から得たGPDGを図3に示す。

レジスタ生存グラフとは、仮想レジスタを表すノードと、その値の生産と使用の関係を表すエッジを持つグラフである。また、グラフ中にノードの生存時間の概念が導入され、同時刻に生存している仮想レジスタどうしは等時刻線と呼ばれる1本の線で貫かれる。同一の等時刻線が貫くノード数を該当サイクルの干渉度とする。図3に対するレジスタ生存グラフを図4に示す。

レジスタ生存グラフを用いると、並列化レジスタ干渉グラフにおいては事実上干渉しないノードどうしにも張られていたエッジを切ることが可能になる。

問題点2を考慮した手法として、レジスタ生存グラフを参照し、最大干渉度が実レジスタ数を超えているサイクルに生存するノードの中から、クリティカルパス長に影響の少ないノードを選択し、その実行タイミ

ングを遅延させていく手法が提案されている<sup>3)</sup>。この手法により高いILPを抽出できたが、レジスタプレッシャが高い場合に良い結果を出すことができなかった。その理由は、最大干渉度低減操作において、並列度の高い部分に優先してレジスタ資源を割り付けるのではなく、クリティカルパスに影響のない仮想レジスタをスプिलさせるというヒューリスティクスを用いていたからである。

これに対し、シリーズパラレル化<sup>10)</sup>したレジスタ生存グラフを用いることで、この欠点を補う手法も提案されている<sup>4)</sup>。この手法ではコード中の並列度の高さを数値化し、並列度が高い部分に優先して実レジスタを割り付けるヒューリスティクスを用いることで前述の欠点を補っている。これにより、レジスタプレッシャが高い場合にも対応できるアルゴリズムとなった。しかし、バックトラックを行わずにヒューリスティクスにより解を一意に決めてしまう手法であったため、問題点3は克服されていない。

問題点2を考慮した他の手法に関しては、文献11)で総合的な性能評価が示されているように、数多くの研究が行われている。

その1つとして、BersonらのResource Spackling<sup>12)</sup>がある。命令をノードとし、あるリソースの再利用が可能な命令へのエッジを持つReuse DAGを用いる。レジスタのReuse DAGから必要レジスタが超過する命令群を解析し、それを回避するためのエッジを実行ユニットのReuse DAGに追加することで、コードスケジューリングとレジスタ割付けの統合を図る。しかし、再利用が可能な命令を決定するアルゴリズムについては記述がなく、この性質によっては unnecessary スピルコードを挿入してしまうことがある。また、この手法でも問題点3は克服されていない。

本稿ではこれらの関連研究をふまえ、問題点1~3の解決を目指し、DPを用いて計算量を抑制しつつ解空間をより広く探索してILPを抽出するアルゴリズムを提案する。

## 4. 本手法の特徴

### 4.1 動的計画法の活用

本手法では、NP完全問題であるレジスタ割付けを、DPを用いて探索コストを抑制しながらより広く解空間を探索するアルゴリズムを用い、より高いILPを抽出する。これにより、問題点3を解決する。DPは最大干渉度低減操作の際に利用される。レジスタ生存グラフを複数の小グラフの集合と見なし、各小グラフをDPのアルゴリズムの下で実レジスタ数とクリティカ

ルパス長の制約を加えながら接続していくことで最大干渉度が実レジスタ数以下に低減されたレジスタ生存グラフを得る。ここで、接続とは2つの小グラフを1つのグラフにまとめることをいう。この際、接続後の最大干渉度が利用可能実レジスタ数を超えない限り、クリティカルパス長が最短となる接続を行う。小グラフの接続順序によって、得られるレジスタ生存グラフのクリティカルパス長が変化するため、DPを用いない場合は全組合せの接続を試行する必要がある。しかし、DPを適用することで、接続結果を複数回再利用することができる。また、良い解を導くと予想される接続結果を優先して用いることができるため、大幅に枝刈りされる。DPによる枝狩りの例は6章で、また、枝狩りによる計算量の抑制度は8章で述べる。

#### 4.2 論理排他性の考慮

本手法では、実レジスタの有効な再利用のため論理排他性を利用する。ここで、命令  $A, B$  が論理排他性を持つとは、両者の実行結果がともに有効になる実行条件が存在しないことを意味する。この条件下で、命令  $A, B$  の目的レジスタの生存範囲が重なる場合、レジスタを共有することができる。書き込みの際には、ガードの値から実行結果が有効にされる命令を選択し、その値を書き込めばよい。プレディケートなどをサポートするアーキテクチャの場合、論理排他性を利用したレジスタの有効活用を図ることができる。本手法では、ガードをサポートするアーキテクチャを対象にしており、プレディケートでは難しい複雑な論理排他性の存在も効率的に行われる。

#### 4.3 領域分割レジスタ生存グラフの利用

本手法では、最大干渉度低減操作において領域分割レジスタ生存グラフを用いる。これにより、問題点1が解決され、また問題点2を克服するアルゴリズムの適用が可能になる。ここで、領域分割レジスタ生存グラフとは、以下の条件を満たすレジスタ生存グラフであると定義する。

- (1) 各ノードは生存区間の終わり以外からのエッジを持たない。
- (2) ガードが生成されたサイクルから次のサイクルにまたがって生存するノードが存在しない。

各ノードは生存時間の分だけ等時刻線と交わる。また、ガードが生成されたサイクルの直後に条件境界を持ち、Top ノードの直後と Bottom ノードの直前にもそれぞれ Top ノード境界、Bottom ノード境界を持つ。各境界はノード、境界、等時刻線とは交わらず、エッジのみと交わる。また、接続に用いる小グラフを解要素領域と呼び、最大干渉度低減操作時には解要素

領域のパラメータを用いて作業を行う。グラフ中において条件境界領域とは、同一の組の条件境界に上下を挟まれたノードの集合である。解要素領域は、条件境界領域中のノードで、直接、もしくは間接的にデータ依存関係を持つノードの集合である。

このような領域分割レジスタ生存グラフの条件は、通常満たされないことが多く、本手法では条件を満たすようにグラフポロジを変形させている。前述の条件(1)を満たすため、図4のレジスタ  $r_2$  を、また、条件(2)を満たすため、レジスタ  $r_3, r_5$  を2つに分割した。図6に示すように、分割後のノードどうしには、同じ値を保持することを示すセიმエッジを張る。分割された2つのノードは、必ず、同一解要素領域に属するかもしれない。そのため、本手法を適用する場合、領域の接続時に複製されたノードどうしが干渉度を不必要に高める心配はなく、付加されたノード・セიმエッジに対して特別な考慮は必要ない。

このような領域分割レジスタ生存グラフを用いる利点として、次の2つがあげられる。1つ目の利点は、探索木の枝狩りによる計算コストの低減である。同一解要素領域にはデータ依存関係を持つノードどうしが集められるため、ある仮想レジスタの値が定義されると、多くの場合、同一解要素領域に属する他の仮想レジスタの依存関係が満たされ、命令が実行可能な状態になる。つまり、同一解要素領域内の仮想レジスタを連続して定義することで、仮想レジスタの生存区間を短く保つことができる。このため、コードの持つ ILP に対して利用可能な実レジスタ数が不足する場合にも、十分な ILP を保つことが可能である。例として、図6中の条件境界領域  $G$  を用いると、 $r_7, r_8$  が定義されてから `store` 命令を実行せずにいると、両者の生存区間が伸長し、レジスタ資源を逼迫することは自明である。そこで、領域分割レジスタ生存グラフを用いると、`store` 命令の実行を遅らせるような解の探索をせず、探索コストを低減することができる。

2つ目の利点は、論理排他性の有効活用である。最大干渉度低減時にグラフポロジの無制約な変更を許せば、探索を行う解空間の範囲は大きくなり、探索コストの増大と引き換えに、最良の解を発見する可能性が高まるように見える。しかし、論理排他性を持つ命令どうしの実行サイクルがずれてしまい、レジスタを共有しにくくなる恐れがあるため、必ずしもそうであるとはいえない。そこで、領域分割レジスタ生存グラフを用いればグラフポロジの変更は条件境界領域内にとどめられるため、明示的に論理排他性を利用しや

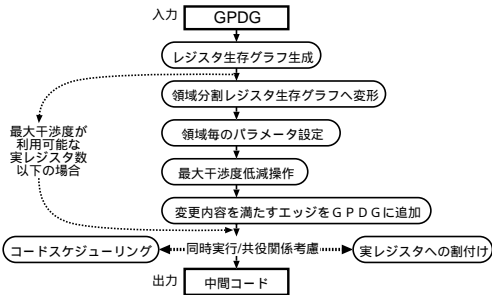


図 5 本手法の流れ

Fig. 5 Flow of our method.

すい状態に置くことができる。図 6 を例にすると、条件境界 2 中の r3, r6 は、論理排他性の関係にあるノードと同じ条件境界 2 に属している。よって、必ず生存区間が重なるため、論理排他性を利用できる。しかし、図 4 を用いる文献 3), 4) の手法では、必ずしも論理排他性を利用できる形でグラフ変形が行われるとは限らない。このことから、領域分割レジスタ生存グラフを用いることで論理排他性を有効に活用できることが分かる。

5. 本手法の流れ

図 5 に全体の流れを示した。

まず、入力となる GPDG からレジスタ生存グラフを生成し、領域分割レジスタ生存グラフの定義に適合させる変形を加える。変形後、グラフ中から領域の抽出とパラメータ設定の計算を行い、これを用いて DP を用いた最大干渉度低減操作を行う。この操作によって、グラフ中にスピルコードの挿入や命令の実行順序の変更など、複数の変更がなされている。そこで、この変更による仮想レジスタの生存区間の関係を保つための仮想エッジを GPDG に追加することで、最大干渉度低減操作の結果が反映された GPDG を得る。その後、仮想レジスタを実レジスタへ割付けるとともにコードスケジューリングを行う。

また、レジスタ生存グラフ中において最大干渉度が利用可能実レジスタ数以下であれば、実レジスタは不足しないため、低減操作は行わない。このようにして、レジスタ割付け、およびコードスケジューリングを完成させる。

6. サンプルへのスケジューリング

図 5 に従い、図 1 のサンプルコードに対して本手法を適用した結果を示す。

まず、図 1 (ii) に対する GPDG が図 3, ここから導くレジスタ生存グラフが図 4, 領域分割レジスタ生存

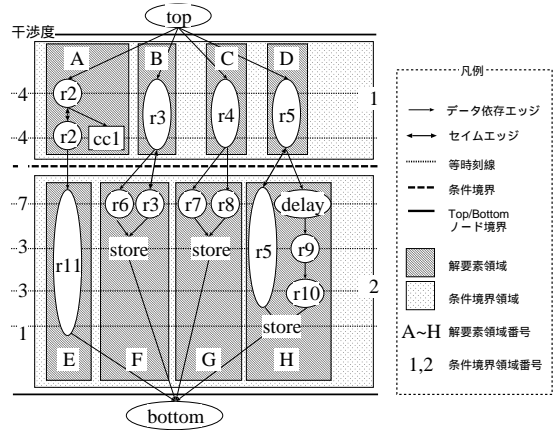
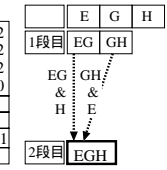


図 6 図 4 に対する領域分割レジスタ生存グラフ

Fig. 6 Region partitioned register existence graph for Fig. 4.

解要素領域E	解要素領域F	解要素領域G	解要素領域H
width[3]=1	width[3]=2	width[3]=2	width[3]=2
width[4]=1	width[4]=0	width[4]=0	width[4]=2
width[5]=1	width[5]=0	width[5]=0	width[5]=2
width[6]=1	width[6]=0	width[6]=0	width[6]=0
depth=4	depth=4	depth=4	depth=4
free=3	free=2	free=2	free=0
pre_edge=1	pre_edge=1	pre_edge=1	pre_edge=1
cc=cc1	cc=!cc1	cc=cc1	cc=cc1

(i) < 条件境界領域C中の各解要素領域の情報 >



(ii) < cc=cc1 に対する DP の表 >

EG [ノーマル接続]	GH [ノーマル接続]	解要素領域(GH)E [Eを2サイクルスピル]	解要素領域(EG)H [Hを1サイクルスピル]
width[3]=3	width[3]=4	width[3]=4	width[3]=4
width[4]=1	width[4]=2	width[4]=3	width[4]=3
width[5]=1	width[5]=2	width[5]=3	width[5]=3
width[6]=1	width[6]=0	width[6]=1	width[6]=3
depth=4	depth=4	depth=4	depth=5
free=2	free=0	free=3	free=0
pre_edge=2	pre_edge=2	pre_edge=3	pre_edge=3

(iii) < (ii) の表のために必要な接続結果 >

図 7 最大干渉度低減操作

Fig. 7 Maximum interference degree reduction.

グラフが図 6 である。

領域を抽出後、図 6 の条件境界領域 2 に対して最大干渉度低減操作を行った際の様子を図 7 に示す。

以下、G を解要素領域とし、次のように G の各パラメータを表す。

- $G_{width[i]}$  :  $i$  サイクルの干渉度
- $G_{depth}$  : クリティカルパス長
- $G_{free}$  : 自由度
- $G_{pre-edge}$  : 入力エッジの本数
- $G_{edge[i]}$  :  $i$  サイクルの入力エッジの本数
- $G_{spill-in}$  : 挿入されたスピルインノードのサイクル
- $G_{spill-out}$  : 挿入されたスピルアウトノードのサイクル

ここで解要素領域の自由度とは、該当する解要素領域に属する全ノードに関し、解要素領域が属する条件境界領域のクリティカルパス長に影響なく実行を遅延

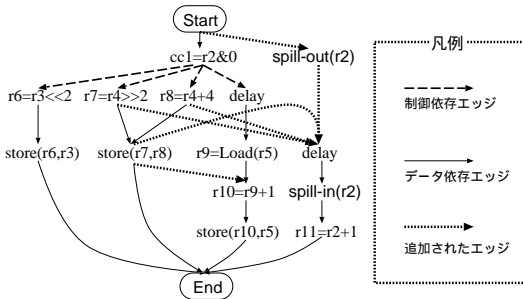


図 8 変更後の GPDG

Fig. 8 GPDG after reduction of interference degree.

clock	ALU1	ALU2	レジスタ1	レジスタ2	レジスタ3	レジスタ4
1	cc1=r2&0	spill_out(r2)	r2	r3	r4	r5
2	r9=Load(r5)	r8=r4+4	empty	r3	r4	r5
3	r6=r3<<2	r7=r4>>2	(r9)	r3/r8	r4	r5
4	store(r7,r8)	spill_in(r2)	r9	r3/r8	r6/r7	r5
5	r10=r9+1	store(r6,r3)	r9	r3/(r2)	r6	r5
6	store(r10,r5)	r11=r2+1	r10	r2	empty	r5
7			empty	r11	empty	empty

図 9 スケジューリング結果

Fig. 9 Result of scheduling by our method.

することができるサイクル数を意味する。

条件境界領域 2 中には、図 7 (i) のように、 $E \sim H$  の解要素領域が存在する。このうち、解要素領域  $F$  は  $!cc1$  というガードが付加されており、他の領域と論理排他性を持つため、 $E$ 、 $G$ 、 $H$  を優先して接続する。

$E$ 、 $G$ 、 $H$  の最適な組合せを探索するため、図 7 (ii) の表を作成する。2 段目の  $E$ 、 $G$ 、 $H$  の接続は、 $E$  と  $G$  の接続を先に行う ( $EG$ ) $H$  と、 $G$  と  $H$  の接続を先に行う  $E$ ( $GH$ ) の 2 種類の接続が考えられるため、両者の接続結果のうち、 $G_{depth}$  が最短の接続方法を用いる。ここでは前者の接続の結果が 5、後者の結果が 4 となるため、後者の接続方法を採用する。その様子が、図 7 (iii) に示されている。図中、括弧で括られた解要素領域は、その接続を優先して行ったことを示す。解要素領域の数  $r$  が増すに連れて DP の表の深さも増すが、計算量は  $O(r^2)$  以下に抑えられるのが特徴である。

このようにして、最大干渉度が実レジスタ数以下に低減され、かつクリティカルパス長が最短となる条件境界領域が得られる。すべての条件境界領域の最大干渉度を低減し、ここで行った実レジスタ数制約を満たすための変更点を、図 8 のように GPDG に依存エッジを加えることで反映させる。

図 8 に対して 2 つの ALU、4 つのレジスタを持つハードウェアを想定してスケジューリングすると、図 9

に示すように 7 サイクル必要である。文献 6) の手法では 10 サイクル、文献 3) の手法では 8 サイクル、文献 4) の手法では 8 サイクル必要であった。

## 7. アルゴリズム

### 7.1 領域分割レジスタ生存グラフへの変形手順

[ 入力：レジスタ生存グラフ ]

- (1) Top ノードの直後、Bottom ノードの直前に、それぞれ Top ノード境界と Bottom ノード境界を設置。
- (2) 全ガードノードに対し、その値が生成された直後に条件境界を設置。
- (3) 全条件境界に対し、境界を越えて生存する全ノードを境界を境に分割し、ノード間にセიმエッジを設置。
- (4) 生存区間の終わり以外のサイクルで値参照関係のある全ノードに対し、値参照のあるサイクルでノードを分割し、値の引継ぎを示すセიმエッジを設置。

[ 出力：領域分割レジスタ生存グラフ ]

### 7.2 各パラメータの設定

[ 入力：領域分割レジスタ生存グラフ ]

- (1) 全境界をサイクルの降順に境界リストへ追加。
- (2) 最も近い境界どうしに挟まれた全ノードを同じ条件境界領域  $R$  に属するとし、 $i$  サイクルの等時刻線の干渉度を  $R_{width}[i]$  に設定。
- (3) 全ノードをノードリスト 1 に追加し、空になるまで以下を実行。
  - (a) ノードリスト 1 から先頭ノード  $n$  を取り出し、新しい解要素領域  $r$  に属すると設定。
  - (b)  $r$  が、 $n$  が属する条件境界領域  $R$  に属すると設定。
  - (c)  $n$  からエッジをたどって到達可能なノードのうち、 $R$  に属するノードをノードリスト 1 から取り出し、 $r$  に属すると設定。ただし、Top ノード、Bottom ノードを介してはたどれず、 $R$  に属さないノードは連続して 1 度しかたどれない。
  - (d)  $r$  に属するノードからなるレジスタ生存グラフの  $i$  サイクルの干渉度を、 $r_{width}[i]$  として設定。
  - (e)  $r$  からなるレジスタ生存グラフの自由度を  $r_{free}$  に設定。
  - (f)  $R$  が挟まれる境界どうしの距離から  $r_{free}$  を引いた値を  $r_{depth}$  に設定。

- (g)  $n$  に付加されたガードを  $r_{cc}$  に設定 .
- (4) 全解要素領域  $r$  に対し,  $r_{cc}$  と異なるガードが付加されたノードが存在すれば, 論理排他性のある実行条件が付加されたノードの組に対して,  $i$  サイクルのノードの組の数を  $r_{width[i]}$  から減算し, ガードの共通部分を  $r_{cc}$  として再設定 .
- (5) 最大干渉度が利用可能な実レジスタ数を超過する解要素領域に対し, 文献 3) のヒューリスティクスによる最大干渉度低減操作を適用 .
- (6) 解要素領域のクリティカルパスが伸びた場合, 同一条件境界領域に属する全解要素領域  $r$  の  $r_{depth}$  を同じだけ延長 .
- (7) 元のグラフにおけるノードへのエッジを, そのノードが属する解要素領域へのエッジに追加 .

[ 出力: パラメータ抽出後の領域分割レジスタ生存グラフ ]

### 7.3 最大干渉度低減操作

[ 入力: 領域分割レジスタ生存グラフ ]

- (1) すべての条件境界領域を条件境界領域リストに追加 .
- (2) 以下の作業を条件境界領域リストが空になるまで繰り返す .
- (a) 条件境界領域リストの先頭  $R$  を取り出し, 全干渉度が実レジスタ数を超過していないければ, (2) へ移動 .
- (b)  $R$  に属する解要素領域中から論理排他性を持つ組をガード番号が若い順に検出し, 後述する接続アルゴリズムに従って同一ガードごとに接続したあとに, 論理排他性を持つ解要素領域どうしを接続 .
- (c) (b) の接続結果と残る解要素領域を接続 .
- (d) (c) の接続内容を改めて  $R$  として設定 .
- (3) すべての条件境界領域をあわせ, 領域分割レジスタ生存グラフを再構成し, レジスタ制約が満たす限り, スピルコードを除去 .

[ 出力: 最大干渉度低減後の領域分割レジスタ生存グラフ ]

### 接続アルゴリズム

[ 入力: 解要素領域リスト ]

- (1) カレントレベルを 1 に設定 .
- (2) カレントレベルが  $R_{no}$  になるまで繰り返し .
- (a) DP の表の [ カレントレベル ] 段に [ カレントレベル + 1 ] 個の隣り合う解要素領域を接続する組合せを挿入 .
- (b) (a) で得られた全組合せに対し, 組合せを 2 分割する全組合せに対し解要素領域どうしの接続を行い, クリティカルパ

ス長が最短になる接続結果をカレントグループの接続結果として登録 . この際, すでに表中に登録済みの接続結果を用いて接続を実行 .

[ 出力: 接続後の解要素領域 ]

$G'$  と  $G''$  を接続して  $G$  を得るとした際の接続に用いる計算式

- 論理排他性の利用

$$G_{width[i]} = \text{Max}[G'_{width[i]}, G''_{width[i]}]$$

$$G_{depth} = \text{Max}[G'_{depth}, G''_{depth}]$$

- ノーマル接続

$$G_{width[i]} = G'_{width[i]} + G''_{width[i]}$$

$$G_{depth} = \text{Max}[G'_{depth}, G''_{depth}]$$

- $G'$  にスピルコードを挿入

スピル中のサイクル, スピルイン命令が挿入されているサイクル, その他のサイクルの順に  $G_{width[i]}$  を求める計算式を示す . ただし,  $\alpha$  とは, 対象アーキテクチャにおけるスピルイン命令に必要なサイクルコストを示すものとする .

$$G_{width[i]} = G''_{width[i]}$$

$$G_{width[i]} = G''_{width[i]} + G'_{edge[G'_{spill-out}]}$$

$$G_{width[i]} = G'_{width[i]} + G''_{width[i]}$$

$$G_{depth} = \text{Max}[G'_{depth} + (G'_{spill-in} - G'_{spill-out}) + \alpha - G'_{free}, G''_{depth}]$$

## 8. 実験

### 8.1 性能評価

想定するハードウェアを以下に示す .

- 2 命令・4 命令並列 VLIW アーキテクチャ .
- レジスタ数 8・32 .
- キャッシュミスが起きない .
- プレディケートをサポート .
- 命令レイテンシは, 整数演算を 1, メモリ演算を 2, 浮動小数演算を 5, 浮動小数の乗算を 7, 浮動小数の除算を 23, スループットをすべて 1 と設定 .

キャッシュミスが起きないと設定しているのは, レジスタ割付けに対する定常的な評価を示すためである . 各命令のレイテンシは, 広く使用されている Pentium4 の x86 アーキテクチャに準拠した .

ベンチマークプログラムは, Stanford-Integer Benchmark<sup>13)</sup> 中の特徴的なループを用いた . また, Livermore Fortran Kernel ( LFK )<sup>14)</sup> の “DISCRETE ORDINATES TRANSPORT” カーネルに対しても,

表 1 クリティカルパス長の比較

Table 1 Comparisons of critical path length.

レジスタ数 並列度	レジスタ数 8								レジスタ数 32							
	2				4				2				4			
手法	手法 1	手法 2	手法 3	手法 4	手法 1	手法 2	手法 3	手法 4	手法 1	手法 2	手法 3	手法 4	手法 1	手法 2	手法 3	手法 4
Bubble	38	32	24	22	38	19	16	15	27	24	24	24	25	15	15	15
Exptab	92	49	45	44	92	43	25	24	39	39	39	39	34	20	20	20
Fit	77	149	77	73	75	147	75	72	73	73	73	73	72	72	72	72
Initarr	96	83	49	45	96	55	33	33	51	41	41	41	49	33	33	33
Initmat	111	77	58	61	111	74	35	39	63	52	52	52	59	31	31	31
Permute	26	40	21	18	25	29	18	18	26	21	21	21	24	18	18	18
Qsort	35	45	35	32	35	31	25	23	29	29	29	29	24	23	23	23
Trans	153	155	135	135	153	155	135	135	136	135	135	135	136	135	135	135

試験的に同様の実験を行った。プログラムから最内ループを取り出し、それに対するレジスタ割付けを行い、クリティカルパスリストスケジューリング<sup>15)</sup>によるコードスケジューリングを行った。比較した手法は、レジスタ彩色法(手法1)、並列化レジスタ干渉グラフを用いた手法(手法2)、シリーズパラレル型レジスタ生存グラフを用いた手法(手法3)、そして、本手法の4種類である。評価は、生成されたコードのクリティカルパス長によって行った。クリティカルパスの長さはプログラムの実行時間に相当するため<sup>16)</sup>、この数値の比較によりプログラム速度の比較を行うことができる。結果を表1に示す。

手法1は、並列性を考慮していない手法であるため、プロセッサの並列度が上がっても、顕著な性能の向上が見られない。

手法2は、コードが保持するILPに対しレジスタ資源が潤沢でない際、つまりレジスタプレッシャが高い場合には、並列性を保持するためのエッジが逆効果となり、余分なスピルコードが出てしまうことがある。このため、Fitに見られるように下回る性能を示す可能性がある。

手法3は、並列度の高い部分に優先してレジスタを割り当てるため、手法2と比較して余分なスピルコードの発行を抑制しており、高いILPの抽出に成功している。しかし、Fitに見られるようにコードの持つILPが低い場合やレジスタ数32における、レジスタプレッシャが高くない状況の実験においては、従来手法との性能差が見られない。

手法4は、より広く解空間を探索するアルゴリズムにより、全体として従来手法以上のILPを抽出している。しかし、レジスタ数:8、実験プログラム:Initmatの場合に見られるように、利用可能実レジスタ数と同じくらい大きな干渉度を持つ解要素領域が、同一条件境界領域内に複数存在する場合、手法3の性能を下回る可能性がある。これは、解要素領域の再接続においてスピルコード挿入が必要になるが、その際スピルコー

ドが頻発することによってクリティカルパス長の伸長が起こるためである。また、手法3はこういった状態に特に強いヒューリスティックアルゴリズムを採用しているため、このような結果が出たと思われる。この状況は、領域分割レジスタ生存グラフから予測可能であり、別手法に切り替えるなど、様々なアプローチでの克服が可能である。レジスタ数32における実験においては、従来手法との性能差が見られないが、Fitに見られるようにコードの持つILPが低い場合にも、従来手法を上回る性能を示した。また、本手法のレジスタ数8,32の場合における性能差が少ないことから、少ないレジスタ資源の再利用が並列実行を阻害する逆依存を発生させないように、コードスケジューラとレジスタアロケータの統合アルゴリズムが効果的に働いたといえる。

この実験により、従来手法が性能を発揮しやすい場合やILPの抽出が困難な場合にも、従来手法と同程度の性能を発揮することができ、特にレジスタプレッシャが高い場合に、より高いILPを抽出できることが確認された。

## 8.2 計算量評価

本手法は、アルゴリズムにDPを適用することで、計算量を抑制しつつ広い探索を試みている。そこで、DPによる枝狩りの効果、領域分割レジスタ生存グラフを用いた効果について評価を行う。計算量の比較対象は次のとおりである。

- 手法1: レジスタ生存グラフを用いた全探索手法
- 手法2: 領域分割レジスタ生存グラフを用い、解要素領域の組合せを全探索する手法
- 手法3: 本手法(論理排他性検出時)
- 手法4: 本手法(論理排他性未検出時)

手法1は、探索木中のノードを設定する操作が最内ループとなり、レジスタ生存グラフ中のノード数を $n$ とすると、作成する探索木のノード数は $n!$ である。スピルコード挿入時は、グラフポロジの変形に際し、たかだか $n$ 回の値比較を行うため、手法1の計算量



は  $O(n^n)$  である。

手法 2 は、解要素領域どうしの接続が最内ループとなり、条件境界領域数を  $NUM_R$ 、ある条件境界領域  $R$  に属する解要素領域数を  $NUM_{r[R]}$  としたときの接続回数は、 $NUM_R \cdot \sum_{i=1}^{NUM_{r[R]}} NUM_{r[R]} P_i$  と表される。また、接続の計算量は、スピルコードが挿入される場合  $NUM_{r[R]} \cdot r_{depth}$  に比例する。これより、計算量は  $NUM_R \cdot NUM_{r[R]} \cdot r_{depth} \cdot \sum_{i=1}^{NUM_{r[R]}} NUM_{r[R]} P_i$  に比例することとなり、手法 2 の計算量は、 $O(NUM_R \cdot r_{depth} \cdot NUM_{r[R]}^{NUM_{r[R]}+1})$  であると分かる。

手法 3 に関しては、最大干渉度低減操作手順の接続アルゴリズム内、手順 (2)(c) が最内ループとなる。論理排他性を持つ組が  $k$  個存在した場合、 $k$  組目の解要素領域数  $NUM_{r[R][k]}$  は平均して  $NUM_{r[R][k]} \leq \frac{2 \cdot NUM_{r[R]}}{k}$  を満たす。この場合の接続回数は、 $2k$  回であり、解要素領域数  $NUM_r$  個に対する計算量は  $NUM_r^2$  に比例する。また、接続の計算のコストは、スピルコードを挿入する場合  $NUM_{r[R]} \cdot r_{depth}$  に比例するため、本手法の計算量は、 $O((\frac{NUM_{r[R]}}{k})^2 \cdot k \cdot NUM_{r[R]} \cdot r_{depth}) = O(\frac{r_{depth}}{k} \cdot NUM_{r[R]}^3)$  となる。

本手法に関して上記に示した計算量のデータは、論理排他性を持つ解要素領域が含まれない場合、ゼロ除算が発生し、意味をなさない。手法 4、つまり  $k=0$  の際、スピルコード挿入時を基準に起算すると、 $O(r_{depth} \cdot NUM_{r[R]}^3)$ 、となる。

手法 1 の計算量を基準として、どれほど計算コストを低減できているかを考察する。手法 2 において、 $NUM_R \cdot NUM_{r[R]} \leq n$  がつねに成り立つため、 $NUM_R \cdot r_{depth} \cdot NUM_{r[R]}^{NUM_{r[R]}+1} \leq n \cdot r_{depth} \cdot NUM_{r[R]}^{NUM_{r[R]}}$  である。また、 $r_{depth} \ll n$  かつ  $NUM_{r[R]} \ll n$  が多くの場合成り立つことは自明である。これらの条件から、見た目のオーダは、手法 2 が手法 1 以上に高まっているものの、計算コストそのものは大幅に低減されていると分かる。しかし、 $NUM_{r[R]}$  によるとはいえ、計算コストは大きく発散しており、現実的な計算量であるとはいえない。

次に、手法 3 において、 $k$  と  $r_{depth}$  は  $n$  に依存するため、 $O(NUM_{r[R]}^3)$  が成り立つ。ここで、先ほど述べたように、 $NUM_{r[R]} \ll n$  が多くの場合成り立つため、 $O(NUM_{r[R]}^3) \doteq n^2$  であるといえる。以上から、手法 1 と比較し、計算量をきわめて大きく低減していることが分かる。また、文献 6) の手法などが、スピルコードが頻発した場合に  $O(n^3)$  程度の計算コストを必要とすることなどから、手法 3 の計算量は、十分許容範囲内であることが結論付けられる。

最後に、手法 4 において、 $r_{depth} \leq n$  がつねに成

り立ち、 $NUM_{r[R]} \ll n$  が多くの場合成り立つことから、 $O(r_{depth} \cdot NUM_{r[R]}^3) \doteq n^3$  であるといえる。以上から、手法 1 の計算コストと相対比較し、計算量をきわめて大きく低減していることが分かる。しかし、手法 3、レジスタ干渉グラフを用いたレジスタ彩色法と比較すると、計算量は著しく大きい。 $n^3$  という値から、動的コンパイルにおけるレジスタ割付けへの適用は困難であると予想されるが、静的コンパイルへの適用を考慮すると、十分に計算量を抑制しているといえる。

## 9. おわりに

本稿では、命令レベル並列プロセッサ向けにコードを最適化するレジスタ割付け手法を提案した。DP を用いたアルゴリズムにより、計算コストを低減しつつ、広く解空間を探索するヒューリスティクスを考案し、より高い ILP を抽出する新しいアプローチのレジスタ割付けを行った。本稿により、本手法がレジスタプレッシャに高い場合に良い性能を発揮することが確かめられた。今後、より効率的なアルゴリズムの考案を進める予定である。

## 参考文献

- 1) Norris, C. and Pollock, L.L.: A Scheduler-Sensitive Global Register Allocator, *Proc. ACM SIGPLAN '93 Conf. on Supercomputing*, pp.804–813 (1993).
- 2) Pinterm, S.S.: Register Allocation with Instruction Scheduling: A New Approach, *Proc. ACM SIGPLAN '93 Conf. on Programming Languages Design and Implementation*, pp.248–257 (1993).
- 3) 古関 聡, 小松秀昭, 百瀬浩之, 深澤良彰: 命令レベル並列アーキテクチャのためのコードスケジューラ及びレジスタアロケータの協調技法, 情報処理学会論文誌, Vol.38, No.3, pp.584–594 (1997).
- 4) 近藤伸宏, 小松秀昭, 古関 聡, 深澤良彰: シリーズパラレル型レジスタ生存グラフを用いたレジスタ割付け技法とその評価, 情報処理学会論文誌, Vol.41, No.11, pp.3122–3132 (2000).
- 5) <http://gcc.gnu.org/>
- 6) Chaitin, G.J., et al.: Register Allocation via Coloring, *Computer Languages*, Vol.6, pp.47–57 (1981).
- 7) Cytron, R., et al.: An Efficient Method of Computing Static Single Assignment Form, *Conf. Record of the 16th ACM Symposium on the Principles of Programming Languages*, pp.25–35 (1989).

- 8) 小松秀昭, 古関 聡, 深澤良彰: 命令レベル並列アーキテクチャのための大域的コードスケジューリング技法, 情報処理学会論文誌, Vol.6, pp.1149-1161 (1996).
- 9) Ferrante, J., Ottenstein, K.J. and Warren, J.D.: The Program Dependence Graph and Its Use in Optimization, *ACM Trans. Prog. Lang. Syst.*, Vol.9, No.3, pp.319-349 (1987).
- 10) Duffin, R.J.: Topology of Series-Parallel Networks, *J. Math. Applic.* 10, pp.303-318 (1965).
- 11) Norris, C., et al.: An Experimental Study of Several Cooperative Register Allocation and Instruction Scheduling Strategies, *Proc. 28th International Symposium on MICRO* (Nov. 1995).
- 12) Berson, D.A., et al.: Resource Spackling: A Framework for Integrating Register Allocation in Local and Global Schedulers, *PACT* (Aug. 1994).
- 13) Hennessy, J., et al.: *Stanford Integer Benchmarks*, Stanford Univ. Personal Communication (1982).
- 14) [http://www.llnl.gov/asci\\_benchmarks/asci/limited/lfk/](http://www.llnl.gov/asci_benchmarks/asci/limited/lfk/)
- 15) Muchnick, S.S.: *Advanced Compiler Design Implementation*, pp.535-543, Morgan Kaufmann Publishers, Inc. (1997).
- 16) Fernandez, E.B. and Bussel, B.: Bounds the Number of Processors and Time for Multiprocessor Optimal Schedules, *IEEE Trans. Comput.*, Vol.C22, No.8, pp.745-751 (1973).

(平成 14 年 1 月 29 日受付)

(平成 14 年 5 月 4 日採録)



浅原 英雄

1977 年生 . 2000 年早稲田大学理学部情報学科卒業 . 2002 年同大学大学院理工学研究科修士課程修了 . 同年, キヤノン(株)入社 . 現在, 同社にてソフトウェア開発に従事 .



近藤 伸宏

1974 年生 . 1997 年早稲田大学理学部情報学科卒業 . 1999 年同大学大学院理工学研究科修士課程修了 . 同年(株)東芝入社 . 現在(株)東芝セミコンダクター社システム LSI

事業部所属 .



古関 聡(正会員)

1969 年生 . 1994 年早稲田大学大学院理工学研究科電気工学専攻修士課程修了 . 1998 年同大学院理工学研究科電気工学専攻博士課程修了 . 同年日本 IBM(株)入社 . 以来, 同社東京基礎研究所において, Java just-in-time コンパイラの開発に従事 . 工学博士 .



小松 秀昭(正会員)

1960 年生 . 1985 年早稲田大学大学院理工学研究科電気工学専攻修了 . 同年, 日本 IBM(株)東京基礎研究所入社 . コンパイラ, アーキテクチャ, 並列処理の研究に従事 . 博士

(情報科学) .



深澤 良彰(正会員)

1976 年早稲田大学理学部電気工学科卒業 . 1983 年同大学大学院博士課程中退 . 同年相模工業大学工学部情報工学科専任講師 . 1987 年早稲田大学理学部助教授 . 1992 年同教授 .

工学博士 . ソフトウェア工学, コンピュータアーキテクチャ等の研究に従事 . ソフトウェア科学会, IEEE, ACM 各会員 .